

بهبود وضعیت روسازی بالاستی خطوط ریلی با استفاده از بسترها رسانی نرم

ثبت شده به کمک افزودنی RRP

حسین قربانی دولاما، دانشجوی دکتری راه و ترابری، دانشگاه آزاد واحد علوم و تحقیقات تهران
جبارعلی ذاکری^{*}، استاد، دانشکده مهندسی راه آهن، دانشگاه علم و صنعت ایران، تهران
مرتضی اسماعیلی، استاد، دانشکده مهندسی راه آهن، دانشگاه علم و صنعت ایران، تهران
پرهام حیاتی، استادیار، دانشکده عمران، معماری و هنر، دانشگاه آزاد واحد علوم و تحقیقات تهران

Email: zakeri@iust.ac.ir

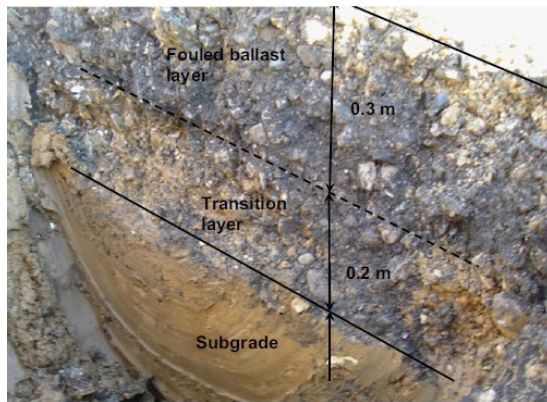
دریافت: ۱۳۹۹/۰۵/۲۵ - پذیرش: ۱۳۹۹/۰۹/۱۱

چکیده

به موازات توسعه خطوط باری سنگین و خطوط پرسرعت، چالش مهم نگهداری و تعمیر بالاست در این خطوط ریلی همواره مطرح بوده است. گرچه هزینه احداث خطوط بالاست در مقایسه با خطوط بدون بالاست به طور قابل توجهی کمتر است اما مسئله حذف لایه بالاست و یا ثبت آن به روش‌های گوناگون از جمله موضوعات مهم تحقیقات زیرسازی ریلی در دهه اخیر به شمار می‌رود. در این تحقیق، با هدف جایگزینی بخشی از لایه بالاست در بخش زیر تراورس با خاک بستر ثبت شده، امکان‌پذیری استفاده از نوع جدیدی از روسازی بدون بالاست مطرح شده است. در این راستا، با استفاده از مصالح رسانی تهیه شده از بستر راه آهن ارومیه - مراغه و افزودن درصدهای مختلف ماده شیمیایی ثبت‌کننده Royal Road Product 235 (RRP) به مصالح بستر، نمونه‌های متعددی ساخته شده و تحت آزمایش‌های تراکم، مقاومت فشاری و مقاومت کششی قرار گرفته و نهایتاً نتیجه‌گیری شده که افزودن این ماده به میزان 1.52E-02 درصد حجمی نسبت به حجم خاک، مقدار بهینه بوده و باعث کاهش رطوبت بهینه به میزان ۳۱٪ و افزایش مقاومت فشاری، کششی و برشی به ترتیب به میزان ۴۶، ۲۰ و ۶۷ درصد گردیده است. در گام دوم، نمونه‌های ثبت شده با درصدهای مختلف ماده RRP، بوسیله دستگاه جعبه بالاست تحت آزمایش سیکلیک تک محوری قرار داده شده و رفتار نشست- تعداد سیکل آنها تحت فشار معادل با رهبرداری راه آهن در ۱۰۰۰۰ سیکل بررسی گردیده است. بر اساس نتایج، با لحاظ افزایش سختی و کاهش نشست، نمونه با 2.73E-02 درصد ماده ثبت‌کننده و از لحاظ میرایی، نمونه با 1.52E-02 درصد ماده ثبت‌کننده، بهترین عملکرد را داشته و به ترتیب باعث ۲۸٪ کاهش نشست و ۲۵٪ افزایش میرایی شده‌اند. در مجموع، با لحاظ نتایج آزمایش‌های استاتیک و دینامیک و مسائل اقتصادی، مقدار 1.52E-02 به عنوان درصد بهینه قابل استفاده ماده افزودنی به منظور ثبت بستر انتخاب شده است.

واژه‌های کلیدی: ماده RRP، ثبت بستر، خطوط بالاستی، آزمایش جعبه بالاست

عمده در بسترها ریزدانه رسی- سیلتی تحت اثر بار تکراری راه آهن رخ می دهد. وقوع این تغییر مکانها در شرایط پیش رونده می تواند به خرابی هایی از نوع لغزش بستر بیانجامد. به طور کلی، در چنین مواردی، عیوب بستر را می توان در عدم تأمین الزامات باربری و کنترل نشست خط ریلی جستجو نمود (اسمعیلی و همکاران، ۱۳۸۹).



شکل ۱. لایه های خط بالاستی (ترین و همکاران، ۲۰۱۲)

پایدارسازی بستر رسی از دو جنبه دارای اهمیت است: جنبه اول، پمپاژ گل به داخل بالاست، ایجاد کثیفی بالاست و نفوذ بالاست در بستر و جنبه دوم ایجاد نشست، به خصوص نشست های ناهمگون، کاهش قدرت باربری خاک در اثر بارهای وارد و تغییرات درصد رطوبت متفاوت. در این راستا، روش های مختلفی با استفاده از مواد مختلف طی سالیان اخیر مورد توجه محققین قرار گرفته است. موادی مانند سیمان، آهک، پلیمر، اپوکسی، CBR PLUS، سنگ گچ و باقیمانده کاربید کلسیم در تثبیت شیمیابی بسترها رسی نرم مورد توجه و استفاده قرار گرفته است.

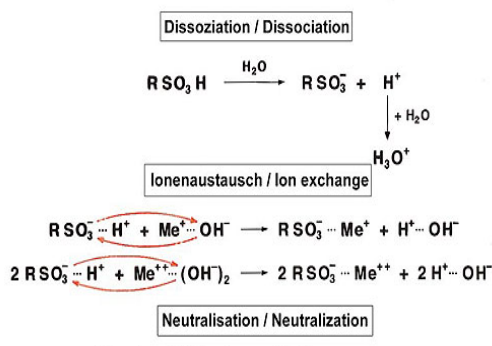
در مورد تثبیت با آهک تحقیقات جامعی انجام گرفته است که عمدۀ نتایج آنها شامل افزایش در مقاومت فشاری، CBR، تراکم، مقاومت در برابر یخ- زدگی، مقاومت برشی، دوام و کاهش نفوذ پذیری، حد خمیری و شاخص پلاستیک می باشد. برای تثبیت با سیمان نیز بررسی های متنوعی انجام گرفته که نتایج آنها

۱. مقدمه

خطوط بالاستی، به علت مزایایی، از جمله هزینه ساخت ارزان و سرعت ساخت زیاد، اغلب توسط صاحبان و بهره برداران زیرساخت های ریلی مورد توجه قرار می گیرند. اما چالش هایی مانند کثیفی بالاست، نشست نامتقارن خط و تغییر شکل های بزرگ ناشی از جابجایی افقی باعث افزایش هزینه های نگهداری و تعمیر در این نوع خطوط گردیده است (ایندراراتنا و همکاران، ۲۰۲۰-ب). بستر خطوط ریلی وظایف مهمی از جمله تأمین سختی و استحکام کافی (مقاومت در برابر تغییر شکل های غیر مجاز)، توزیع ایمن و مناسب بارهای انتقال یافته از لایه بالاست و زیر بالاست به زمین طبیعی، توانایی مقاومت در برابر چرخه های متوالی ذوب و انجماد، عدم حساسیت بیش از حد در مقابل تغییرات درصد رطوبت و تأمین الزامات مربوط به زهکشی خط آهن را بر عهده دارد. با توجه به موارد اشاره شده، تقویت بستر می تواند عامل مناسبی در بهبود خصوصیات خط باشد. با حذف لایه زیر بالاست و قرار دادن مستقیم تراورس روی خاک تثبیت شده، نقش بستر بسیار حائز اهمیت خواهد بود. لذا بهبود خصوصیات بستر می تواند تأثیر به سزایی در عملکرد کلی خط داشته باشد. بارهای دینامیک بزرگ وارد از چرخ لوکوموتیو و سرعت حرکت زیاد آن از یک سو و از سوی دیگر باربری ضعیف بسترها رسی با رطوبت زیاد، از جمله عوامل ایجاد نشست و تغییر شکل های بزرگ در خط بالاستی هستند که بر عملکرد آن تأثیر نامطلوب گذاشته و در برخی موارد باعث اختلال در عملکرد آن می شوند. در نهایت، این موضوع، ضمن کاهش پایداری خط، موجب تغییر در مشخصات هندسی مسیر و تحمیل هزینه های زیاد نگهداری و تعمیر می شود (لازورنکو و همکاران، ۲۰۱۹). خرابی زیرسازی، عملاً خرابی و ناکارآمدی روسازی را نتیجه می دهد که این موضوع به طور عمدۀ ناشی از تغییر مکان های دائمی بستر خطوط ریلی است. این نوع تغییر مکان به طور

همچنین، این ماده به علت تغییراتی که در ویسکوزیته آب ایجاد می‌کند باعث ایجاد شرایط تراکم بهتر و بالا بردن مقاومت خاک می‌شود (فرزانه و مصدق، ۲۰۱۱). در شکل ۲، نحوه عملکرد ماده RRP با علامت R و عکس العمل شیمیایی آن مشخص شده است.

Ionenaustausch und Reaktionen / Ion exchange and reactions



شکل ۲. واکنش شیمیایی ماده RRP و نحوه عملکرد آن در خاک (گرلینگ، ۲۰۱۶)

سابقه اجرایی مناسبی از کاربرد این ماده در طول زمان، در کشورهای مختلف، در زیرساخت‌های حمل و نقل و سدسازی وجود دارد. برای مثال، در تثبیت بستر راه در کشورهایی همچون آلمان، لیتوانی، روسیه، کرواسی، صربستان، ترکیه، مغولستان، اردن، ویتنام، اوگاندا و بسیاری کشورهای دیگر استفاده شده است. در زمینه احداث فرودگاه، سدسازی و ساخت راه‌آهن نیز در ترکیه، یوگسلاوی سابق و برخی کشورهای آفریقایی استفاده‌هایی شده است. در ایران نیز به صورت قطعات آزمایشی در محل باسکول دفن زباله تهران، تعریض راه بین شهری محور ارومیه-اشتبانیه و در محل اژدها بولاغی و نیز بخش‌هایی از جنوب کشور راه ساخته شده است (گرلینگ، ۲۰۱۶). فلسفه اصلی به کارگیری این ماده، استفاده حدکثری از خاک محل و کاهش حمل مصالح می‌باشد. عمدۀ نتایج حاصل از کاربرد ماده RRP در انواع راه‌ها، محوطه‌ها، فرودگاهها و سدسازی شامل: افزایش پارامترهای مقاومتی، تسريع

مشابه تثبیت با آهک می‌باشد. چنانچه از مخلوط سیمان و آهک نیز به وفور در تثبیت خاک استفاده شده است. نتایج بررسی‌ها نشانگر افزایش در مقاومت فشاری، دوام، مقاومت تک‌محوری، سختی، CBR، کاهش دامنه خمیری، رطوبت بهینه و تنفس دینامیک می‌باشد (کای و همکاران، ۲۰۲۰؛ سلازو و همکاران، ۲۰۱۲؛ رائو و همکاران، ۲۰۱۷؛ لازورنکو و همکاران، ۲۰۱۹؛ مالکانتی و همکاران، ۲۰۲۰؛ الواتویا و همکاران، ۲۰۱۹؛ فانیکومار و راجو، ۲۰۲۰؛ پراتیکو و پوپالا، ۲۰۱۲؛ سل - سانچز و همکاران، ۲۰۱۵؛ وانگ و همکاران، ۲۰۱۹؛ رانگ و جیانگ، ۲۰۲۰). تثبیت خاک با استفاده از سایر مواد شیمیایی جهت دستیابی به اهداف مشخص برای انواع خاک‌ها مورد مطالعه قرار گرفته است. از جمله، تثبیت با باقیمانده کاربید کلسیم و خاکستر بیوماس باعث افزایش مقاومت فشاری و مقاومت فشاری محدود نشده، مدلول ارتیجاعی، CBR و کاهش تغییرشکل ارتیجاعی (محمدی‌نیا و همکاران، ۲۰۱۴)، تثبیت خاک با سرباره کوره آهن گدازه موجب افزایش قابل توجه CBR و مشخصات فیزیکی و مقاومتی و کاهش قابلیت تورم (یادو و تریپاتی، ۲۰۱۳؛ لوپز و همکاران، ۲۰۱۴؛ ایندراراتنا و همکاران، ۲۰۱۹) تثبیت با کائولین باعث افزایش مقاومت سیکلیک و شاخص خمیری و کاهش مقاومت برشی (ایندراراتنا و همکاران، ۲۰۲۰-الف)، تثبیت رس با لیگنو‌سولفونات باعث افزایش مشخصات فیزیکی و مقاومتی (Ta'negonbadı, B. and Noorzad, R. 2018)، تثبیت رس با پلیمر موجب افزایش مقاومت فشاری و دوام (میرزابابایی و همکاران، ۲۰۱۷) خواهد شد.

Reynolds Road Packer 2-3-5 (RRP-235) مایعی قهوه‌ای رنگ و اسیدی، ساخت کشور آلمان است که از طریق جانشینی یونی کلوئیدهای رسی موجب بهبود خواص آنها می‌شود. با افروden این ماده به خاک رسی، ضخامت لایه آب دوگانه کاهش یافته و خصوصیات خمیری و تورمی خاک بهبود می‌یابد.

به دست آوردن نتایج آزمایشگاهی، حذف لایه زیربالاست و نیز بخشی از بالاست مطالعه گردیده و امکان قرارگیری تراورس به صورت مستقیم روی خاک رسی بررسی گردد. در این خصوص، نمونه‌های متنوعی برای آزمایش‌های مختلف، با درصدهای ماده افزودنی مشخص، ساخته و تحت آزمایش قرار گرفته است. در گام اول، مشخصات مقاومتی خاک از جمله تراکم، رطوبت بهینه، مقاومت فشاری، مقاومت کششی و مشخصات برش مورد بررسی قرار گرفت. در گام دوم، رفتار و پاسخ‌های دینامیک خاک ثبیت شده با استفاده از آزمون جعبه بالاست مورد بررسی قرار گرفته است و در این بخش با تعیین نشت، سختی و میرایی خاک، رفتار آن مورد بررسی و مطالعه قرار گرفته است.

۲. روش‌شناسی تحقیق

برای انجام آزمایش میدانی و ساخت نمونه‌ها در آزمایشگاه، از خاک محور راه‌آهن ارومیه- مراغه و از محل ایستگاه ارومیه نمونه برداری شده است. این مسیر شامل خط بالاستی می‌باشد که به‌واسطه شرایط محیطی و سطح آب‌های زیرزمینی، بارش‌های سالانه، وجود انواع خاک‌های رسی و نیز تردد قطار دچار تغییرشکل‌های قائم و افقی گردیده و هندسه خط را دچار تغییرشکل نموده است.

از این رو، با نمونه برداری از خاک محل، مجموع آزمایش‌های فیزیکی، بارگذاری استاتیک و بارگذاری دینامیک روی خاک مورد نظر با درصدهای مختلف ماده RRP، با هدف بررسی رفتار و تعیین درصد بهینه به کارگیری این ماده، مطابق جدول ۱ صورت گرفته است.

در اجرای عملیات، کاهش حمل مصالح و استفاده حداقلی از مصالح موجود، کاهش نفوذپذیری، کاهش ضخامت لایه‌های زیرسازی و روسازی، عدم نیاز به رویه در راههای با ترافیک کمتر، کاهش نشت‌های نامتقارن، کاهش رشد گیاهان، کاهش آب‌شستگی، کاهش عملیات نگهداری زمستانی، کاهش نیاز به ماشین آلات و کاهش صدمات زیست‌محیطی می‌باشد. یک تفاوت عمده ثبیت خاک رس با استفاده از ماده RRP در مقایسه با سایر ثبیت‌کننده‌ها، از جمله آهک و سیمان، امکان ثبیت دوباره آن بعد از عمل آوری است. سیمان و آهک فقط یکبار عمل نموده و در صورت شکست امکان ترمیم ندارد. در حالی که ماده RRP تأثیر همیشگی داشته و تا زمان وجود آن در اطراف کلوئید رس، می‌تواند راه را ثبیت نماید و همچنین با نفوذ مواد در خاک با عمق بیشتر، به مرور زمان ضخامت لایه بیشتر می‌شود (گرلینگ، ۲۰۱۶).

برخلاف سابقه نسبتاً طولانی استفاده از این ماده در انواع زیرساخت‌های عمرانی کشورهای مختلف، کار تحقیقاتی عملهای در زمینه به کارگیری این ماده در زیرساخت‌های ریلی و در ثبیت بسترها رسانی سنت در خطوط ریلی صورت نگرفته است. با توجه به قدرت باربری کم خاک رسی و تغییرات زیاد در فصول مختلف سال با توجه به شرایط جوی و برخی مشکلات دیگر مانند جذب آب زیاد، تورم و تغییر حجم در رطوبت‌های مختلف، امکان قرارگیری تراورس به صورت مستقیم روی خاک رس وجود ندارد. در راستای استفاده از خاک محل، کاهش هزینه‌های حمل، اثرات زیست‌محیطی و نیز افزایش قدرت باربری خاک، کاهش تغییرات آن در فصول مختلف سال، ارائه روسازی جدید بالاستی با مصرف بالاست کمتر نسبت به روسازی معمولی بالاستی، در این تحقیق، از بستر رسی ثبیت شده با ماده RRP به عنوان هدف اصلی تحقیق استفاده شده و سعی می‌گردد تا با شناخت خصوصیات مهندسی خاک ثبیت شده با ماده RRP و

جدول ۱. آزمایش‌های انجام شده روی خاک رسی ثبت شده با ماده RRP

آزمایش	استاندارد مورد استفاده	درصد حجمی ماده RRP نسبت به خاک	3.64E-02	2.73E-02	2.12E-02	1.52E-02	9.09E-03	0
درصد رطوبت بهینه	ASTM D 698-78	✓	✓	✓	✓	✓	✓	---
مقاومت فشاری	ASTM C39	✓	✓	✓	✓	✓	✓	✓
مقاومت کششی	ASTM C496	✓	✓	✓	✓	✓	✓	✓
مقاومت برشی	ASTM D3080	---	✓	✓	✓	✓	✓	✓
جعبه بالاست	----	---	✓	✓	✓	✓	✓	---

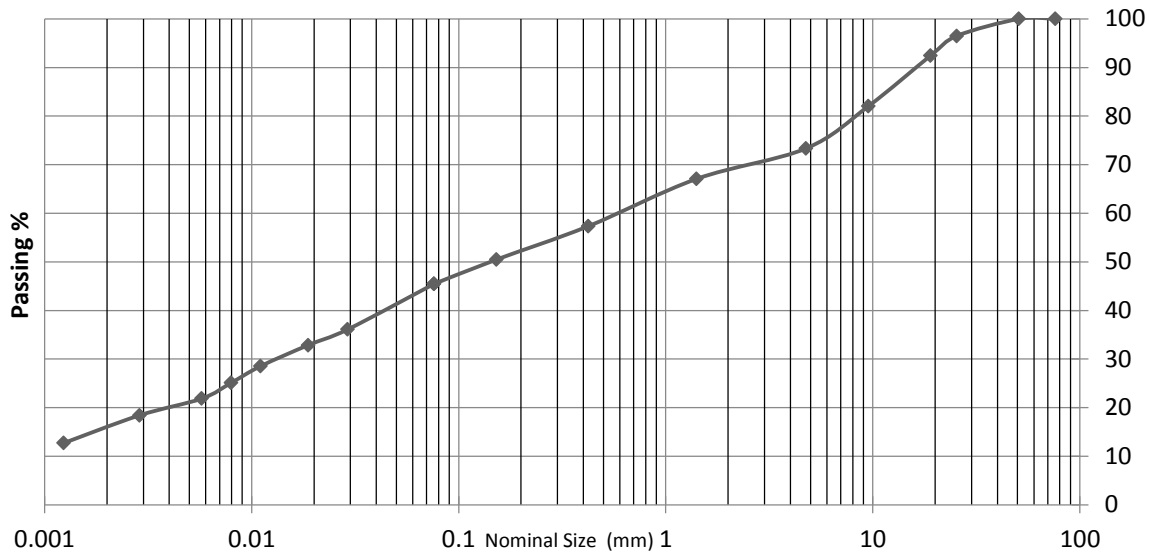
بر سانتی متر مکعب به دست آمد و نوع خاک ماسه رس- دار (SC) می‌باشد.

۲-۱-۲. آزمایش‌های مکانیکی و بحث در مورد آنها برای تمامی آزمایش‌ها، نمونه خاک بدون اختلاط با ماده RRP و نیز با مقادیر مختلف ماده RRP ساخته و تحت آزمایش قرار گرفته است.
رطوبت بهینه تراکم:

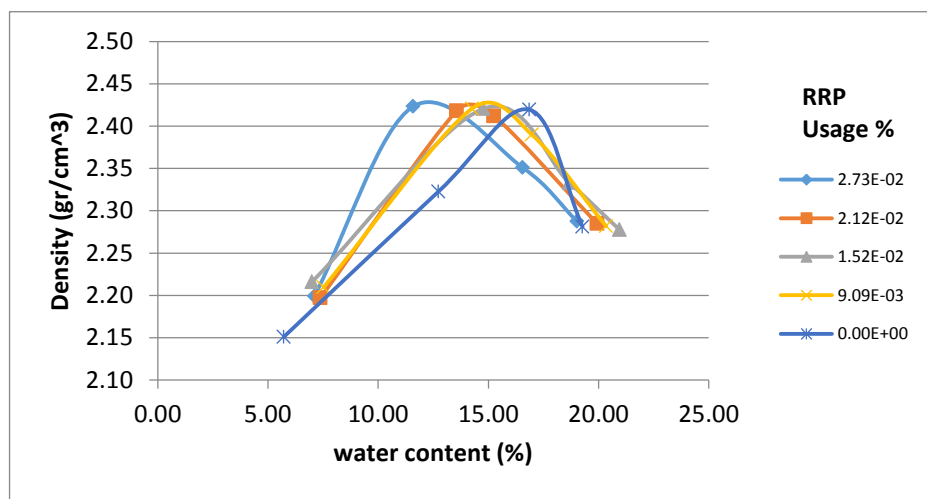
برای انجام این آزمایش، مطابق استاندارد ASTM D 698-78 عمل گردیده و نمونه‌ها ساخته و مورد آزمایش قرار گرفته است. نتایج به دست آمده (شکل ۴) نشان می‌دهد که میزان ماده RRP تأثیر مثبتی در تراکم داشته و با افزایش استفاده از آن، میزان رطوبت بهینه را کاهش می‌دهد. این عملکرد دور از انتظار نبوده و ناشی از آزادسازی آب موجود در کلوئیدهای رسی می‌باشد که با افزایش هرچه بیشتر ماده RRP و آزادسازی بیشتر آب‌های سطحی کلوئیدهای رسی، رطوبت مورد نیاز برای تراکم بهینه کاهش پیدا می‌کند. لذا این عامل باعث افزایش وزن مخصوص خشک خاک با افزایش مصرف ماده RRP شده است (شکل ۵).

۱-۲. معرفی مصالح و مشخصات آنها

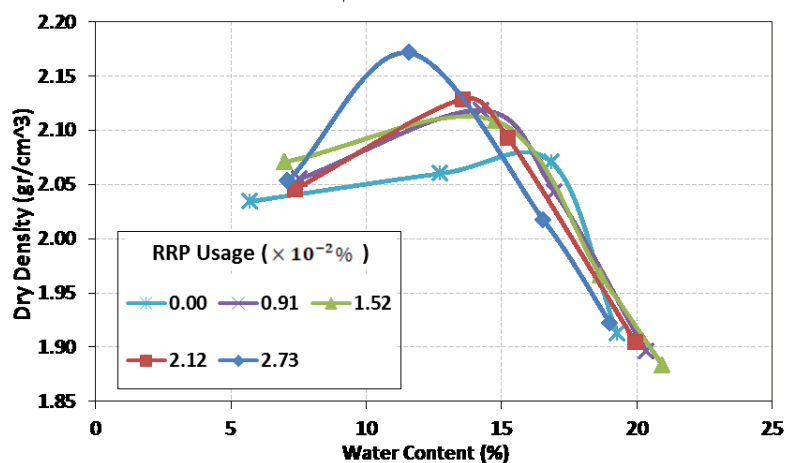
۱-۲-۱. معرفی خاک مورد استفاده و مشخصات آن راه آهن ارومیه- مراغه از نوع بالاستی می‌باشد که بخشی از مسیر آن در حاشیه دریاچه ارومیه واقع شده است. عمدۀ مصالح منطقه از خاک ریزدانه و بخصوص خاک رسی می‌باشد. وجود چشم‌های فصلی تأثیر بهسزایی در تغییرات زیرزمینی و بارش‌های فصلی تأثیر بهسزایی در تغییرات ظرفیت باربری خاک دارد. لذ، محل مناسبی برای مطالعه میدانی روی خاک رس ثبت شده با ماده RRP است. از آنجایی که ماده RRP روی ذرات ریزتر از ۰/۰۶ میلی متر تأثیر می‌گذارد، لذا مقدار رس کوچکتر از آن بسیار حائز اهمیت است. با توجه به نمودار دانه‌بندی (شکل ۳)، این مقدار برای خاک مورد استفاده در حدود ۴۰ تا ۵۰ درصد است. آزمایش‌های هیدرومتری، دانه-بندی و رطوبت بهینه تراکم روی خاک بدون ماده افزودنی انجام گرفت که حد روانی، حد پلاستیک، شاخص پلاستیک، درصد رد شده از الک به قطر ۶۰ میکرون و حداقل وزن مخصوص تر و خشک به ترتیب برابر ۴۴، ۲۵، ۱۹، ۰/۴۳ و ۰/۲۱۷ گرم



شکل ۳. نمودار دانه‌بندی خاک مورد استفاده



شکل ۴. نمودار درصد رطوبت بهینه تراکم و حداقل وزن مخصوص تر



شکل ۵. نمودار درصد رطوبت بهینه تراکم و حداقل وزن مخصوص خشک



شکل ۷. دستگاه جک بتن شکن



شکل ۸. نمونه مکعبی با $2.12E-02$ درصد

پس از بارگذاری و شکستن آن RRP

نمونه‌ها در ۶ درصد مختلف ماده RRP و از هر کدام ۴ سری نمونه ساخته شده و در سنین مختلف تحت آزمایش قرار گرفتند. با افزایش میزان ماده RRP ابتدا مقاومت افزایش یافته و سپس با افزایش بیشتر ماده RRP مقاومت کاهش می‌یابد و سپس با مصرف بیش از حد ماده RRP مقاومت دوباره افزایش می‌یابد و این الگو در سنین مختلف به صورت مشابه تکرار شده است. البته، مطابق توصیه‌های شرکت تولیدکننده RRP حداقل میزان منطقی و اقتصادی استفاده از ماده RRP کمتر از $2.73E-02$ درصد می‌باشد. بیشترین مقاومت کسب شده در سنین مختلف مربوط به نمونه با $1.52E-02$ درصد ماده RRP می‌باشد. این مقدار با توصیه‌های

مقاومت فشاری:

برای انجام مقاومت فشاری از استاندارد ASTM C39 تبعیت شده است. نمونه‌ها با ۶ درصد مختلف ماده RRP و از هر نمونه چهار سری ساخته شده است تا کسب مقاومت با گذشت زمان مطالعه گردد. نمونه‌ها در ابعاد $15 \times 15 \times 15$ سانتی‌متر به صورت مکعبی، در پنج لایه، با 56 ضربه در هر لایه توسط چکش با وزن $4/54$ کیلوگرم ساخته و با جک بتن‌شکن با سرعت $0/3$ مگاپاسکال بر ثانیه بارگذاری شده و نمونه‌ها شکسته شدند. شکل ۶ نمونه با $9.09E-03$ درصد ماده RRP برای آزمایش در سن 10 روز را نشان می‌دهد. همچنین، شکل‌های ۷ و ۸ به ترتیب نمونه داخل دستگاه جک و پس از شکسته شدن را نمایش می‌دهند.



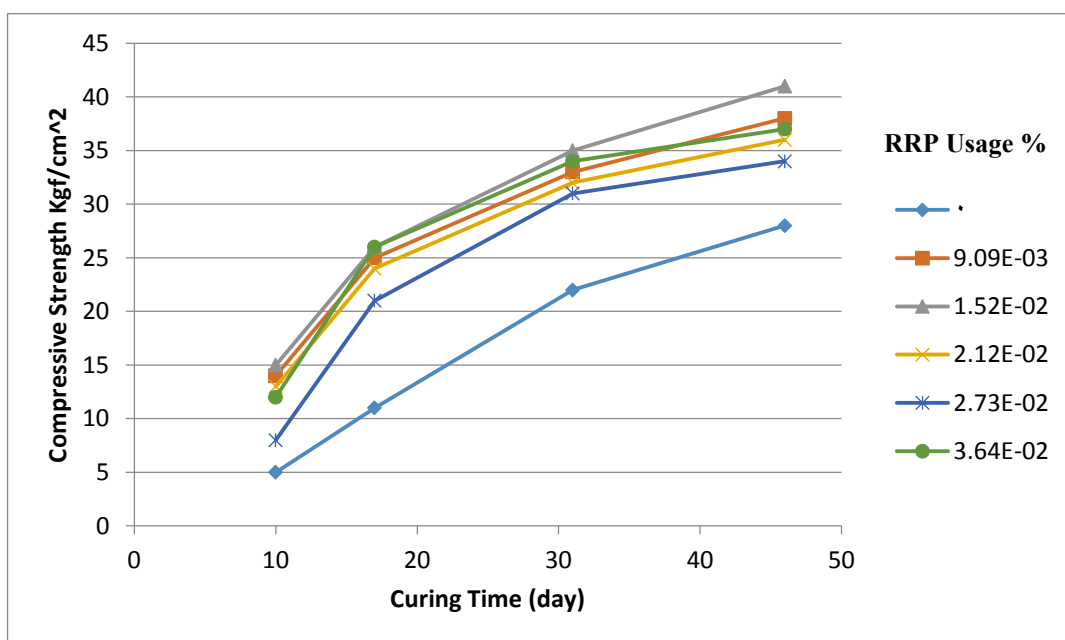
شکل ۶. نمونه ساخته شده با $9.09E-03$ درصد

برای آزمایش در سن 10 روز RRP

زمان است. با افزایش سن نمونه‌ها، مقاومت فشاری نیز بیشتر شده است. شکل ۹، نحوه کسب مقاومت در سینین مختلف برای درصدهای مختلف ماده RRP را نشان می‌دهد که بعد از ۲۰ تا ۳۰ روز عمل‌آوری، شبیه افزایش مقاومت کم شده و حدود ۹۰٪ مقاومت نهایی خود را کسب کرده است. به نظر می‌رسد که بعد از ۴۶ روز عمل‌آوری، مقاومت به مقدار نهایی خود نزدیک شده و تغییر چندانی نخواهد داشت. البته طبق اظهارات شرکت تولیدکننده، کسب مقاومت می‌تواند تا یک سال نیز ادامه داشته باشد که با افزایش بارگذاری و تکرار بارهای واردۀ از سوی ترافیک عبوری افزایش می‌یابد. وجود زهکشی نامناسب، بارش نزولات جوی و کاهش دما به دمای انجماد قبل از تراکم از جمله عوامل طولانی کردن فرایند تراکم و کسب مقاومت می‌باشد.

شرکت تولیدکننده هماهنگی داشته و آن را تصدیق می‌کند.

عامل مهم دیگر در کسب مقاومت، عمل‌آوری نمونه‌ها می‌باشد. برای عمل‌آوری بعد از تراکم نیاز به عملیات خاصی نیست و فقط خشک شدن نمونه باعث کسب مقاومت می‌گردد. نمونه‌های ساخته شده در سینین ۱۰، ۱۷، ۳۱ و ۴۶ روز تحت آزمایش قرار گرفتند. انتخاب این سینین برای بارگذاری بر اساس میزان خشک شدن و وضعیت ظاهری نمونه‌ها بوده است. چنانچه، نمونه‌ها پس از ۴۶ روز عمل‌آوری به طور کامل خشک شده بودند. در روزهای ابتدایی اختلاط ماده RRP با خاک، مقاومت فشاری تفاوت چندانی با نمونه بدون این ماده نداشت. حال آنکه با بیشتر شدن زمان عمل‌آوری، این فاصله بیشتر می‌شود که ناشی از عملکرد ماده RRP روی خاک و تثبیت آن در طول



شکل ۹. کسب مقاومت نمونه‌های مختلف با گذشت زمان

درصدی دارد. کمترین میزان افزایش نیز مربوط به نمونه ۲.۷۳E-02 درصد ماده RRP با ۹۰٪ افزایش مقاومت است. میزان ماده RRP مناسب به درصد ریزدانه

همانگونه که در شکل ۹ مشخص است، بیشترین مقاومت کسب شده مربوط به نمونه در سن ۴۶ روز با ۱.۵۲E-02 درصد ماده RRP است که افزایش ۶

نمودن شرایط زهکشی برای خروج آب اضافی و خشک شدن نمونه‌ها کافی است. با توجه به اینکه نمونه‌ها در سن ۴۶ روز کاملاً خشک شده بودند، در آن سن تحت آزمایش قرار گرفتند. شکل‌های ۱۰ و ۱۱، نمونه‌های پس از انجام آزمایش را نشان می‌دهند.



شکل ۱۰. نمونه استوانه‌ای پس انجام آزمایش کشش غیرمستقیم برزیلی

کوچکتر از 0.6% میلی‌متر بستگی دارد. با افزایش ریزدانه‌ها، مقدار نیاز به ماده RRP بیشتر خواهد شد و با کاهش آن نیز کاهش خواهد یافت.

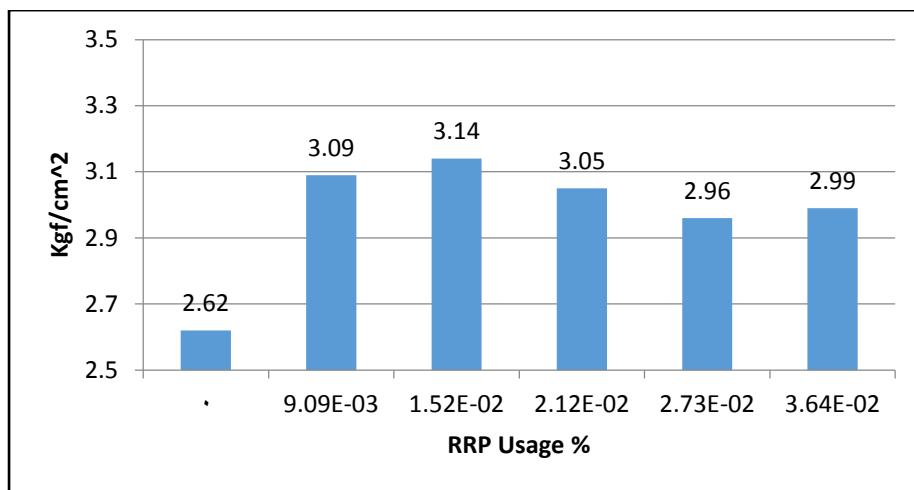
با بررسی الگوی رفتاری نمونه‌ها در سنین مختلف عمل‌آوری و نیز درصدهای مختلف ماده RRP، میزان بهینه مورد نیاز برای این نوع خاک در آزمایش مقاومت فشاری، $1.52E-02$ درصد تعیین می‌گردد.

مقاومت کششی:

برای اندازه‌گیری مقاومت کششی خاک، از آزمایش کشش غیرمستقیم برزیلی با استاندارد ASTM C496 استفاده شده است. نمونه‌ها در قالب استوانه‌ای به ابعاد 15×۳۰ سانتی‌متر در پنج لایه با ۵6 ضربه در هر لایه توسط چکش $4/54$ کیلوگرم متراکم شده است. برای عمل‌آوری نمونه‌ها، پس از اختلاط با ماده RRP و قبل از تراکم، حداقل 24 ساعت زمان لازم است تا فعل و انفعالات شیمیایی صورت پذیرد. بعد از تراکم، عملیات خاصی برای عمل‌آوری مورد نیاز نبوده و صرفاً مهیا



شکل ۱۱. نمونه استوانه‌ای پس انجام آزمایش کشش



شکل ۱۲. تغییرات مقاومت کششی بر حسب درصد RRP در سن ۴۶ روز

نمونه‌ها با درصدهای مختلف افزودنی اختلاط و پس از عمل آوری، در قالب مخصوص متراکم شده و در روز بعد مورد آزمایش قرار گرفت. بر اساس اظهارات شرکت تولیدکننده مبنی بر امکان بارگذاری مسیر و آزادسازی ترافیک بلا فاصله بعد از اجرا، سن آزمایش برش روز بعد از ساخت انتخاب شده است. ابعاد نمونه‌ها برابر $6 \times 6 \times 2$ سانتی‌متر است که با بارهای قائم ۴ و ۶ کیلوگرم تحت آزمایش قرار گرفته است.



شکل ۱۳. نمونه خاک پس از انجام برش مستقیم پس از انجام تست روی تمامی نمونه‌ها، نتایج نموداری و مشخصات چسبندگی و ضریب اصطکاک

در این آزمایش نیز همانند مقاومت فشاری، نمونه‌ها با درصدهای مختلف ماده RRP مطابق جدول ۱ ساخته شده و مورد آزمایش قرار گرفتند. در این آزمایش نیز الگوی کسب مقاومت با توجه به میزان ماده RRP همانند مقاومت فشاری می‌باشد. از آنجایی که مقاومت فشاری و کششی ارتباط مستقیم باهم دارند، لذا این عملکرد منطقی به نظر می‌رسد.

بیشترین مقاومت مربوط به نمونه با ۱.52E-02 درصد ماده RRP به میزان ۳/۱۴ کیلوگرم بر سانتی‌متر مربع با افزایش حدود ۲۱ درصدی نسبت به نمونه بدون ماده RRP و کمترین میزان افزایش مقاومت مربوط به نمونه با ۲.73E-02 درصد ماده RRP است که نسبت به نمونه بدون RRP افزایش ۱۳ درصدی دارد.

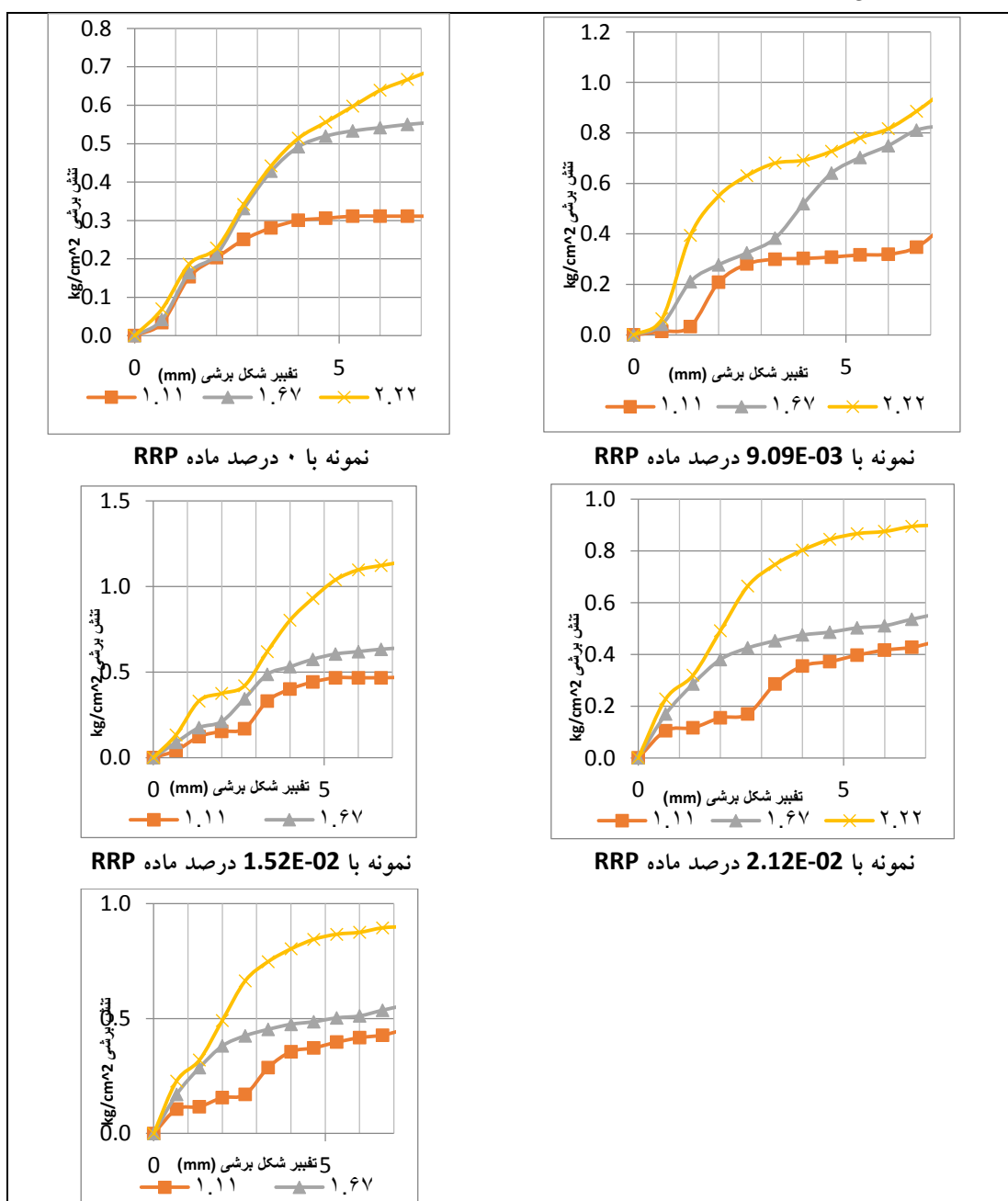
با مقایسه درصدهای افزایش مقاومت کششی با مقاومت فشاری، مشخص می‌گردد که تأثیر ماده RRP در مقاومت کششی حدوداً نصف مقاومت فشاری است.

مقاومت برشی:

مقاومت برشی یکی دیگر از مشخصه‌هایی است که مورد بررسی قرار گرفت. برای انجام آزمایش برش مستقیم از استاندارد ASTM D3080 تعیین شده است.

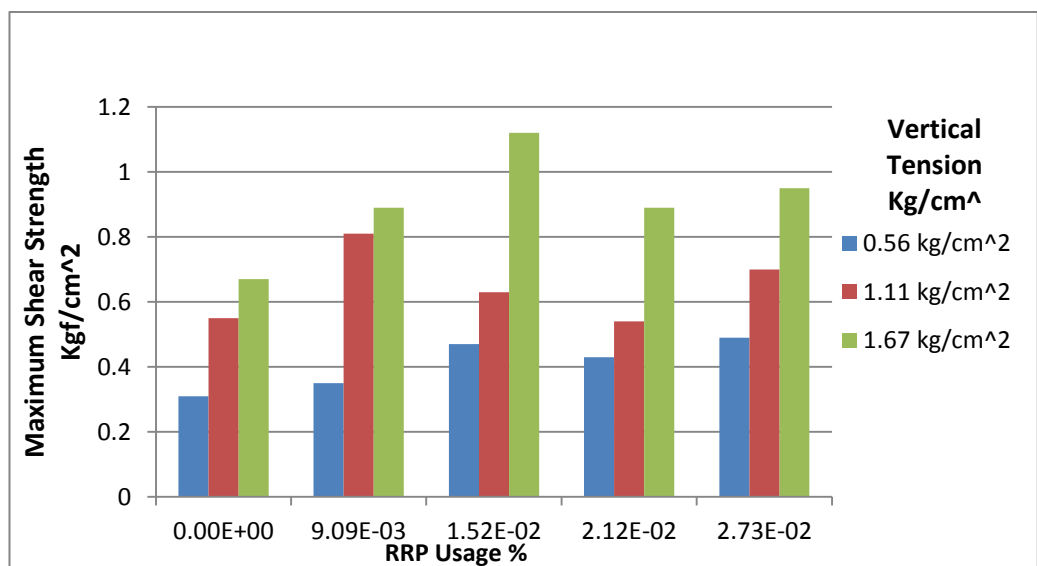
داخلی است. علت آن می‌تواند ناشی از تأثیر آزادسازی آب لایه دوگانه خاک و لزجت ناشی از ماده RRP باشد. سپس، با افزایش میزان ماده RRP مقدار ضریب چسبندگی افزایش و متناسب با آن نیز نمودار زاویه اصطکاک داخلی کاهش یافته است. ضریب چسبندگی و زاویه اصطکاک داخلی معیارهای مناسبی برای درک مقاومت برخی نمی‌باشند و باید نمودارهای مورکولمب ترسیم و مقدار تنش برخی حداکثر به دست آید.

داخلی خاک به دست آمد. سپس، نمودارهای تنش برخی - تغییرشکل برخی ترسیم گردیدند. شکل ۱۴ مربوط به درصدهای مختلف ماده RRP می‌باشد. یکی از مهمترین شاخصهای خاک، ضرایب چسبندگی و اصطکاک داخلی آن می‌باشد. با افزودن ماده RRP به خاک، ضریب چسبندگی آن کاهش یافته و در نتیجه زاویه اصطکاک داخلی بیشتر شده است. چنانچه نمونه با $1.52E-02$ درصد ماده RRP دارای کمترین ضریب چسبندگی و بیشترین زاویه اصطکاک



نمونه با **RRP 2.73E-02** درصد ماده

شکل ۱۴. نمودار تنش برشی حداکثر بر حسب کرنش برشی



شکل ۱۵. تنش برشی حداکثر برای نمونه‌ها با درصدهای مختلف ماده RRP تحت سربار قائم متفاوت

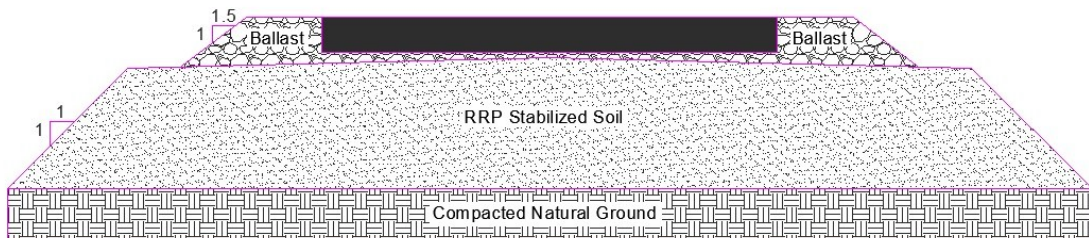
افزایش بیشتر ماده RRP، دوباره افزایش می‌یابد. این رفتار تغییرات تنش برشی در برابر مقدار ماده RRP کاملاً مشابه الگوی رفتاری خاک در آزمایش‌های مقاومت فشاری و کششی است. مقدار 1.52E-02 درصد ماده RRP برای آزمایش برش مستقیم به عنوان مقدار بهینه انتخاب می‌گردد.

با ترسیم نمودارهای تنش برشی – تنش قائم برای تنش‌های بارگذاری قائم متفاوت، الگوی مشابه مقاومت فشاری و مقاومت کششی برای میزان مصرف ماده RRP و مقاومت حاصله به دست می‌آید. همانگونه که در شکل ۱۶ مشخص است، با افزایش میزان RRP، تنش برشی حداکثر بیشتر می‌شود. سپس، با افزایش درصد ماده RRP، تنش برشی حداکثر کاهش یافته و سپس با

ضخامت لایه بالاست و قرارگیری تراورس به صورت مستقیم روی خاک ثبیت شده با ماده RRP. از آزمایش جعبه بالاست استفاده شده است. از آنجایی که این دستگاه نیروهای وارده بر لایه بالاست را شبیه سازی می‌کند، یکی از بهترین آزمایش‌هایی است که می‌تواند تأثیر ماده افزودنی در برابر بارهای دینامیک را مورد مطالعه قرار دهد.

۲-۱-۳. آزمایش‌های دینامیک

برای شناسایی بهتر خصوصیات خاک ثبیت شده با ماده RRP در مقابل بارهای دینامیک وارده از واگن، انجام آزمایش‌های دینامیک الزامی می‌باشد. با تغییر مصالح استفاده شده در خط، سختی آن تغییر کرده و رفتار متفاوتی از لحظه میرایی، سختی و نشست از خود نشان خواهد داد. برای بررسی پاسخ‌های دینامیک و پیگیری ایده تحقیق جهت حذف لایه زیربالاست و کاهش

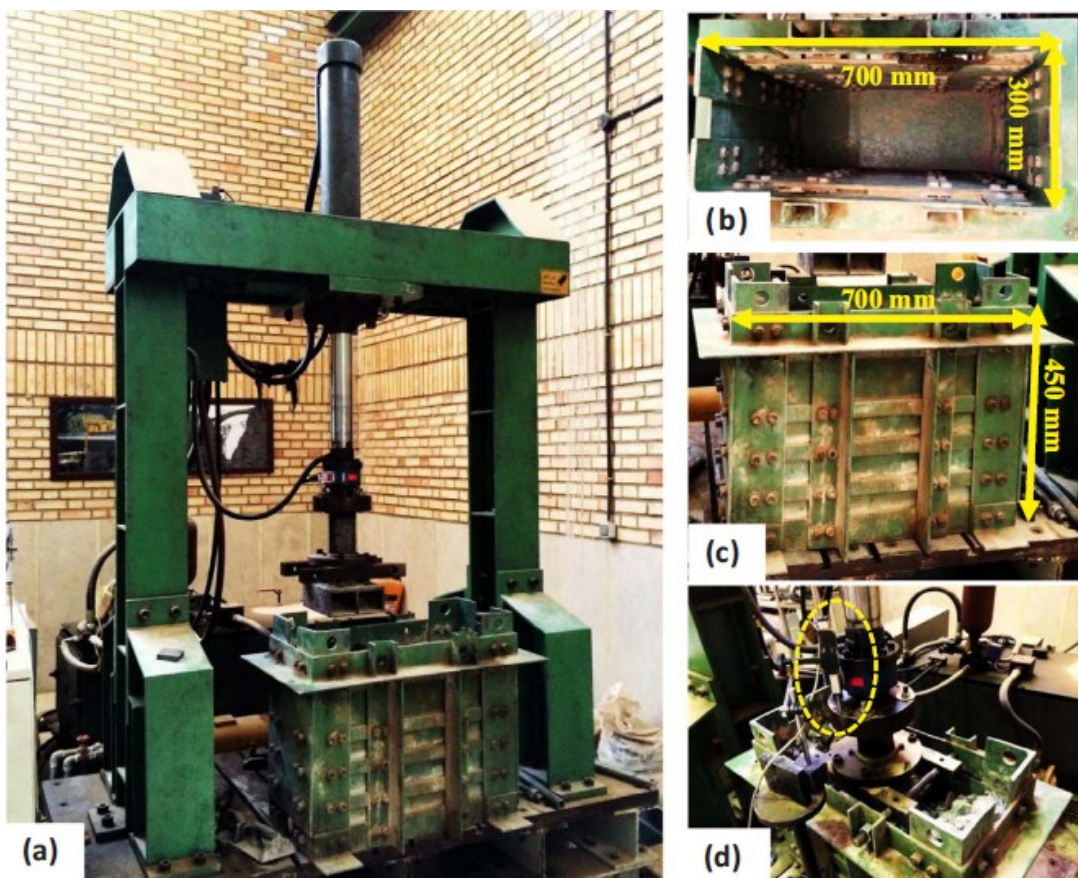


شکل ۱۶. مقطع شماتیک خط بالاستی با بستر ثبت شده با ماده RRP

۱۰۰۰۰ سیکل وارد می‌کند. با استفاده از نرم افزار طراحی شده برای این دستگاه می‌توان مقدار بار وارد، فرکанс آن و تعداد سیکل بارگذاری را تغییر داد. با استفاده از حسگرهای موجود می‌توان تغییر شکل‌ها و میزان نیروی وارد را اندازه گرفت. نتایج حاصل توسط دیتالاگر TMR-7200 ذخیره می‌گردد.

۲-۲. معرفی دستگاه جعبه بالاست

دستگاه جعبه بالاست در دانشگاه علم و صنعت ایران ساخته شده و استفاده می‌گردد (شکل ۱۷). این دستگاه شامل پمپ هیدرولیکی با امکان کنترل از طریق کامپیوتر می‌باشد که توسط یک جک به بالاست متراکم شده در داخل جعبه مخصوص با ابعاد $30 \times 45 \times 70$ سانتی‌متر، توسط پیستونی به ابعاد 22×22 سانتی‌متر، نیروی قائم ۲۷ کیلونیوتون با فرکанс ۳ هرتز به صورت دینامیک در



شکل ۱۷. دستگاه جعبه بالاست آزمایشگاه روسازی IUST (اسماعیلی و همکاران، ۲۰۱۷)

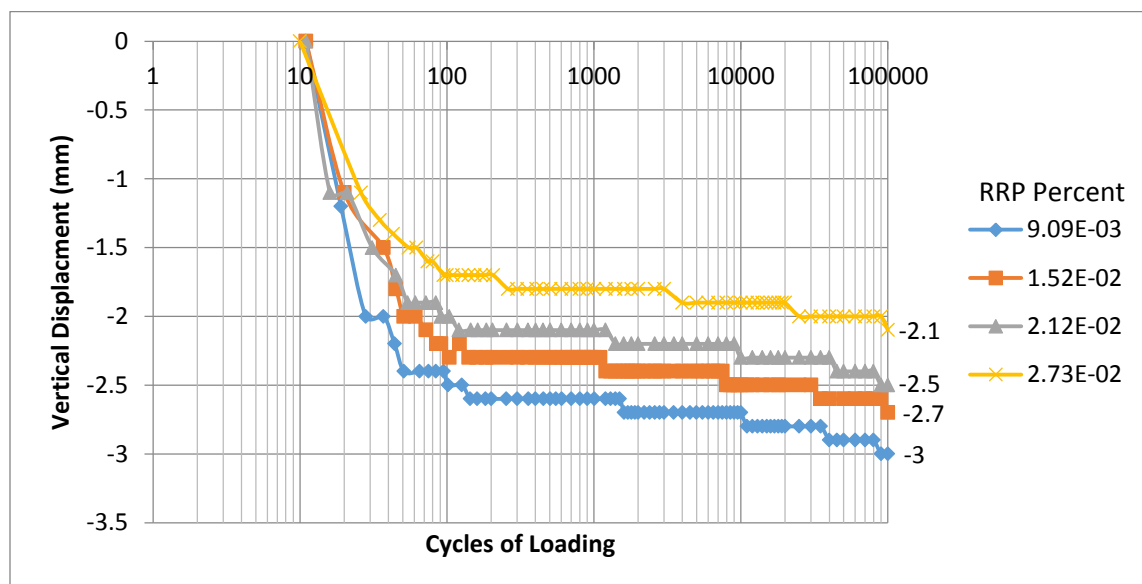
نشست:

یکی از مشکلات خطوط بالاستی، نشست های بزرگ و نامتقارن می باشد که باعث تغییرات محسوس در هندسه خط می شود. جبران این عامل مستلزم هزینه زیاد برای عملیات نگهداری و تعمیر است. با پیگیری ایده تحقیق جهت قرارگیری تراورس به صورت مستقیم روی خاک تثبیت شده می تواند تأثیر به سزایی در کاهش نشست و نیز هزینه های نگهداری و تعمیر داشته باشد. با انجام آزمایش جعبه بالاست روی نمونه های ساخته شده مشخص گردید که با افزایش میزان استفاده از ماده RRP میزان نشست کمتر شده است (شکل ۱۹). چنانچه ۹.۰۹E-۰۳ درصد ماده RRP دارای بیشترین نشست و ۲.۷۳E-۰۲ درصد ماده RRP دارای کمترین نشست است. واضح است که با افزایش ماده افزودنی، بار سطحی در اطراف کلوبیدهای رسی افزایش پیدا کرده و باعث افزایش قدرت باربری و کاهش نشست خاک خواهد شد. ولی استفاده بیش از حد ماده افزودنی صرفه اقتصادی ندارد. چنانچه با ۳۰۰ درصد ماده RRP میزان نشست حدود ۵۰٪ کاهش یافته است.

با توجه به وجود خاک متراکم در نمونه ها و نیاز به زمان برای عمل آوری، از جعبه های کمکی برای ساخت نمونه استفاده شده است. قالب های هماندازه و متناسب با جعبه اصلی ساخته و نمونه های مختلف با درصد های متفاوت ماده RRP با هم ترکیب شده و عمل آوری گردید (شکل ۱۸). سپس، با استفاده از صفحه فلزی و نیروی دستگاه جعبه بالاست متراکم گردید. سپس، به نمونه های ساخته شده برای کسب مقاومت و زهکشی لازم زمان داده شد. پس از آماده شدن نمونه ها، در سنین همزمان مورد آزمایش قرار گرفتند. تأثیر افزودنی ماده RRP بر خاک از منظر دینامیک در سه بخش نشست، سختی و میرایی بررسی می شود.



شکل ۱۸. نمونه های آزمایش جعبه بالاست با درصد های مختلف ماده RRP

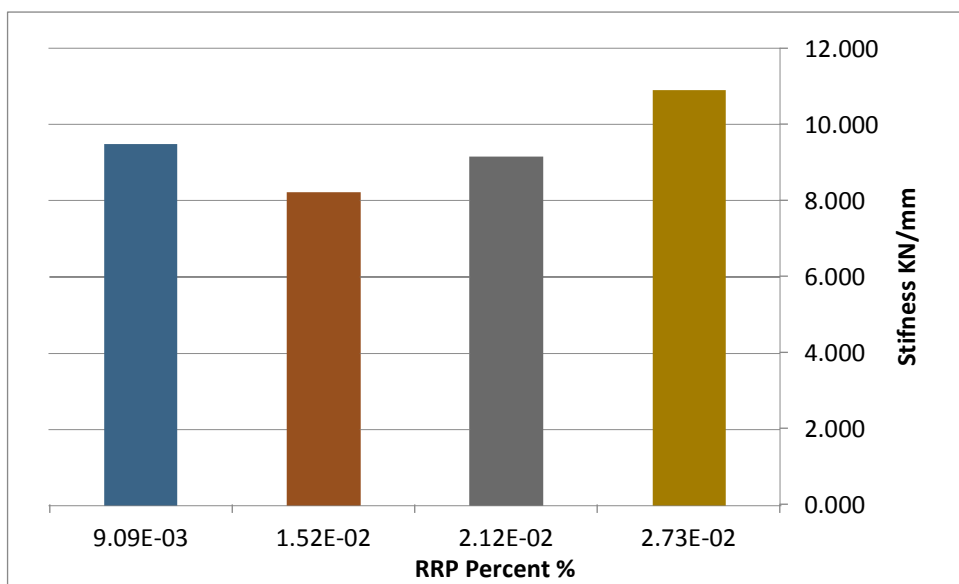


شکل ۱۹. نشست قائم در برابر سیکل های بارگذاری

درصد ماده RRP دارای بیشترین سختی 2.73E-02 است. این عامل می‌تواند ناشی از عملکرد ماده RRP و تأثیر بار سطحی بوجود آمده در سطح ذرات رسی باشد که ضمن ایجاد پایداری و مقاومت در برابر بارهای وارده، باعث کاهش انتقال ارتعاش شده و افزایش میرایی را به همراه دارد. از سوی دیگر، هرچه ضربه چسبندگی خاک کمتر باشد، میرایی آن بیشتر خواهد بود (قزوینیان و همکاران، ۱۳۹۱).

سختی:

تغییر در نوع مصالح در خطوط ریلی باعث تغییر در سختی خط خواهد شد. با توجه به جایگذاری خاک ثبت شده به جای بالاست، نیاز به مطالعه و بررسی سختی خط جدید می‌باشد. با بررسی سختی نمونه‌ها مشخص گردید که با افزایش ماده افزودنی، در ابتداء سختی کاهش پیدا می‌کند و سپس با افزایش ماده RRP سختی افزایش می‌یابد (شکل ۲۰). نمونه با ۱.52E-02 درصد ماده RRP دارای کمترین میزان سختی و نمونه با



شکل ۲۰. سختی نمونه‌ها با درصدهای مختلف RRP

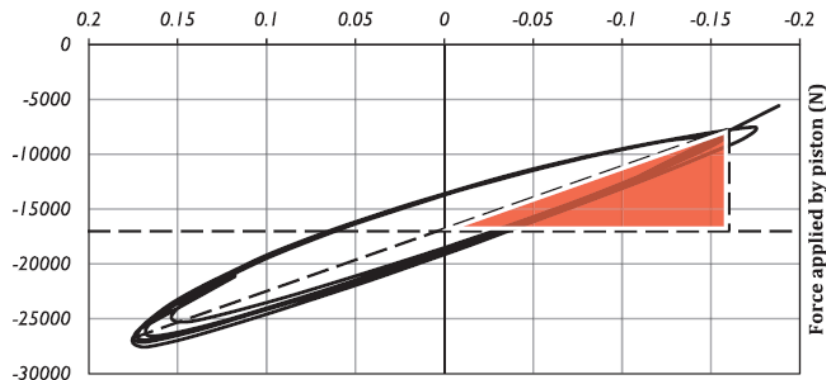
در شکل ۲۱، مساحت ناحیه قرمز رنگ معرف انرژی تلف شده و مساحت منحنی معرف انرژی وارد است. با ترسیم نمودار نیرو-جایگایی (شکل ۲۲) و بررسی نتایج حاصل از میرایی در آزمایش جعبه بالاست (شکل ۲۳) مشخص می‌شود که نمونه با ۱.52E-02 درصد ماده RRP دارای بیشترین میزان میرایی و نمونه با ۲.73E-02 درصد ماده RRP دارای کمترین میزان میرایی است.

میرایی:

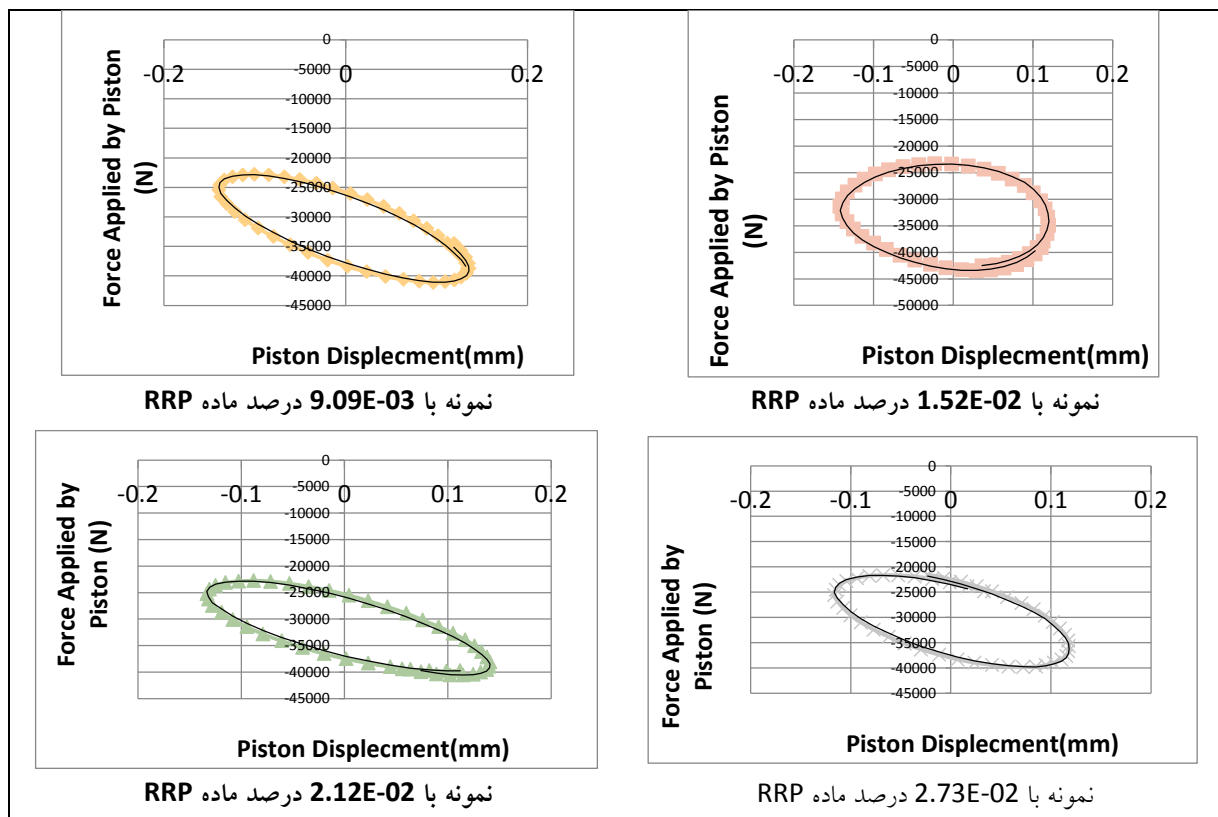
میرایی با استفاده از تقسیم انرژی از دست رفته بر انرژی وارد مطابق فرمول (۱) به دست می‌آید (اسماعیلی و همکاران، ۱۳۹۷)

$$(1) \quad \varepsilon = \frac{\Delta E}{2\pi kx^2}$$

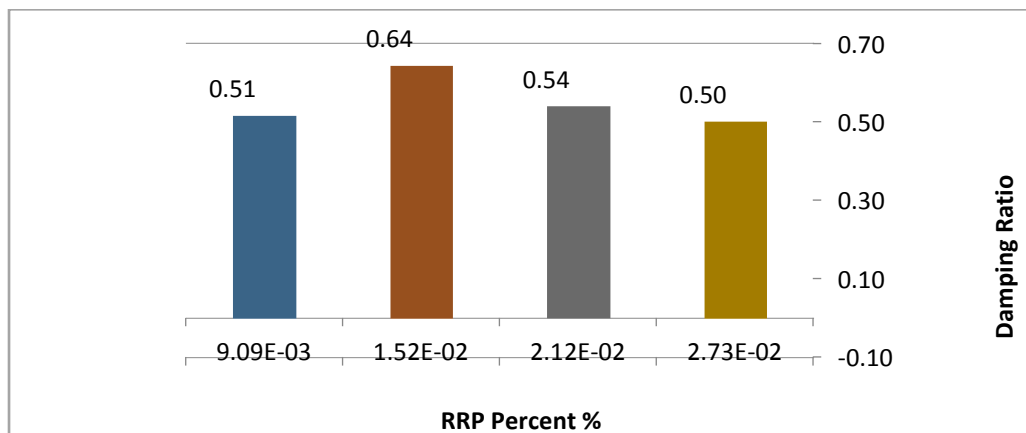
که ΔE انرژی تلف شده، k سختی نمونه و x تغییرشکل نمونه است.



شکل ۲۱. نحوه محاسبه میرایی با استفاده از نمودار نیرو – جابجایی پیستون (اسمعیلی و همکاران، ۲۰۱۷)



شکل ۲۲. نمودار نیرو – جابجایی در ۱۰۰۰۰۰ سیکل



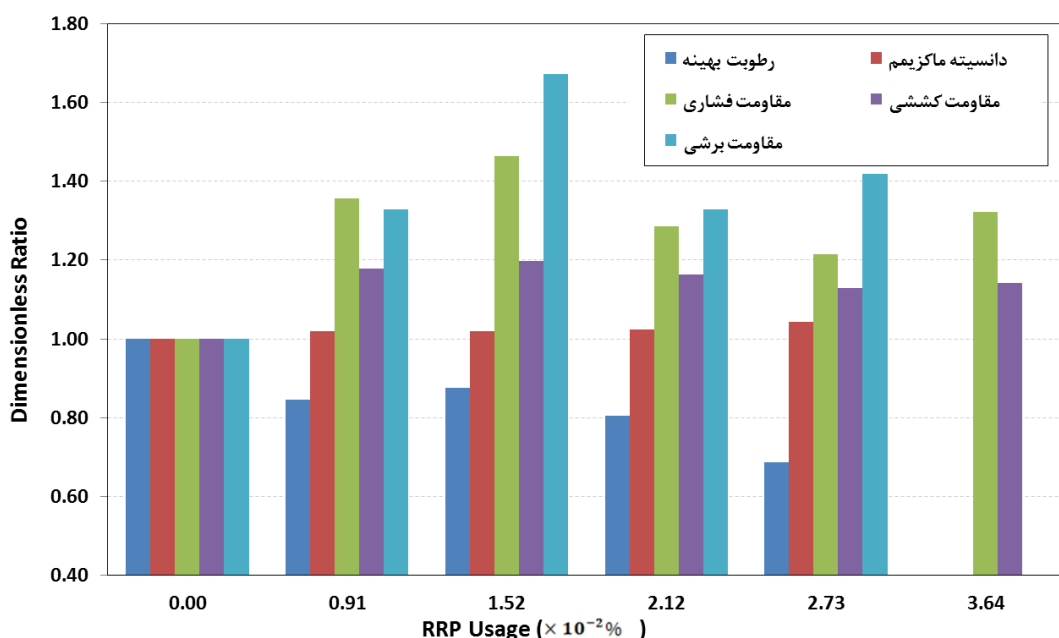
شکل ۲۳. میرایی نمونه‌ها با درصدهای مختلف ماده RRP

درصد بهینه ماده RRP:

برای آزمایش دینامیک، از دستگاه جعبه بالاست با اعمال بار سیکلیک استفاده شده است که از سه جنبه میرایی، سختی و نشت مورد بررسی قرار گرفت. از لحاظ میرایی و سختی، نمونه با $1.52E-02$ درصد ماده RRP دارای بهترین عملکرد می‌باشد. از لحاظ نشت، با افزایش میزان استفاده از ماده افزودنی، مقدار نشت کاهش یافته است چنانچه نمونه با $2.73E-02$ درصد ماده RRP کمترین میزان نشت را داشته است. ولی با در نظر گرفتن موارد اقتصادی و اهمیت میرایی و سختی، نمونه با $1.52E-02$ درصد ماده RRP به عنوان مقدار بهینه انتخاب می‌گردد.

با جمع بندی نتایج آزمایش‌های دینامیک و استاتیک، نمونه با $1.52E-02$ درصد ماده RRP به عنوان میزان بهینه برای این نوع خاک رس با $40 \times 10^{-2\%}$ درصد ریزدانه رد شده از الک به قطر 60 میکرون انتخاب می‌شود.

آزمایش‌ها در دو دسته استاتیک و دینامیک با انواع مقادیر ماده افزودنی مورد آزمایش قرار گرفت که نتایج نموداری به صورت نسبی در شکل ۲۴ مشاهده می‌گردد. در آزمایش‌های استاتیک که شامل رطوبت بهینه تراکم، مقاومت فشاری، مقاومت کششی و مقاومت برشی می‌باشد، نمونه‌های با $1.52E-02$ درصد ماده RRP دارای بهترین عملکرد در بین سایر مقادیر افزودنی می‌باشند. چنانچه در هر بخش مشاهده گردید، الگوی کسب مقاومت و میزان ماده افزودنی ثابت بوده و در ابتدا با افزایش درصد ماده RRP مقاومت بیشتر شده و با مصرف بیشتر ماده افزودنی، میزان مقاومت کاهش یافته و سپس با افزایش بیش از حد مصرف ماده RRP دوباره مقاومت افزایش می‌یابد. البته با افزایش مصرف ماده RRP رطوبت بهینه تراکم کمتر شده است.



شکل ۲۴: مقایسه نتایج آزمایش‌های دینامیکی و مکانیکی انجام شده

تراورس به صورت مستقیم روی آن مورد مطالعه قرار گرفته است. نمونه‌های مختلفی با درصدهای متفاوت ماده افزودنی ساخته شده و با استفاده از آزمایش‌های

۳. نتیجه‌گیری

در این تحقیق، تأثیر جایگزینی بخشی از بالاست با بستر رسی تثبیت شده با استفاده از افزودنی RRP و قرارگیری

چسبندگی و بیشترین زاویه اصطکاک داخلی است. با ترسیم دوایر مور-کلمب و تحلیل آنها مشخص گردید که نمونه با ۱.۵۲E-۰۲ درصد ماده RRP در اکثر موقع دارای بیشترین تنفس برشی است و الگوی کسب مقاومت در برابر مقدار ماده RRP همانند مقاومت فشاری و کششی است.

- با افزایش میزان اختلاط ماده RRP در آزمایش جعبه بالاست، نشت نمونه کمتر شده است. با افزایش ۳۰۰ درصدی ماده RRP، حدود ۵۰٪ نشت کاهش یافته است. همچنین، نمونه ۱.۵۲E-۰۲ درصد ماده RRP دارای بیشترین میزان میرایی و کمترین مقدار سختی است.

- رفتار و خصوصیات مهندسی بستر رسی خطوط ریلی ثبت شده با ماده RRP بهبود می‌یابد و می‌توان سیستم نوینی از روسازی بالاستی با استفاده از این روش توسعه داد.

بیشترین تأثیر افزودنی RRP به ترتیب بر مقاومت برشی با ۶۷ درصد، مقاومت فشاری با ۴۶ درصد، رطوبت بهینه تراکم با ۳۱ درصد، نشت با ۲۸ درصد، میرایی با ۲۵ درصد و در نهایت وزن مخصوص بدون تغییر بوده است.

استاتیک و دینامیک مورد آزمایش قرار گرفته است تا میزان بهینه ماده افزودنی مشخص شود. همچنین، با استفاده از آزمایش‌های مکانیکی، تأثیر RRP روی مشخصات مقاومتی خاک مورد بررسی قرار گرفته است. عمدۀ نتایج حاصله به شرح زیر می‌باشد:

- با افزودن ماده RRP به خاک رس، مقاومت فشاری آن بین ۲۱ تا ۴۶ درصد افزایش پیدا می‌کند که با این مقدار افزایش امکان قرارگیری تراورس روی خاک ثبت شده مهیا می‌گردد. با انجام آزمایش مقاومت فشاری، درصد مناسب اختلاط ماده RRP، ۱.۵۲E-۰۲ درصد و نیز عمر عمل آوری آن در حدود ۶ روز مشخص گردید.

- با انجام آزمایش مقاومت کششی به روش آزمایش کشش غیر مستقیم برزیلی، مشخص گردید که الگوی افزایش مقاومت و نیز درصد مناسب اختلاط ماده RRP مشابه نمونه‌های مقاومت فشاری است. با افزودن ماده RRP، مقاومت کششی بین ۱۳ تا ۲۰ درصد افزایش می‌یابد و نمونه با ۱.۵۲E-۰۲ درصد ماده RRP دارای بهترین عملکرد بوده است.

- با استفاده از آزمایش برش مستقیم، ضربی چسبندگی و زاویه اصطکاک داخلی برای انواع نمونه‌ها به دست آمد. نمونه‌ای که دارای بیشترین مقاومت فشاری و کششی بود، دارای کمترین میزان ضربی

۴. مراجع

اسمعیلی، م.، نصرآزادانی، م. و سعادت راد، ا. ۱۳۸۹. "بررسی اثر ژئوستیک‌ها بر افزایش مدول خط آهن براساس نتایج بارگذاری میدانی و مقایسه آن با نتایج تحلیل عددی". مهندسی حمل و نقل، ۱(۳): ۲۶-۱۳.

قزوینیان، ع.، نجاتی، ح. و سرافرازی، و. ۱۳۹۱. "بررسی تأثیر خواص مکانیکی محیط‌های ژئوتکنیکی بر میرایی امواج لرزه‌ای". کنفرانس ملی زلزله و آسیب‌پذیری اماكن و شریان‌های حیاتی.

فرزانه، ا.، مصدق، ع.، ۱۳۹۰. "بررسی آزمایشگاهی ثبت خاک بستر راه کرمان-زنگی آباد با استفاده از چهار ماده آهک، چسبندگی و زاویه اصطکاک داخلی برای افزایش مقاومت فشاری". نشریه مهندسی عمران و نقشه برداری، دوره ۴۵، شماره ۱، صفحات ۲۳-۳۳.

Cai, Y., Xu, L., Liu, W., Shang, Y., Su, N. and Feng, D. 2020. "Field test study on the dynamic response of the cement-improved expansive soil subgrade of a heavy-haul railway". Soil Dyn. Earthq. Eng., 128: 105878. doi:<https://doi.org/10.1016/j.soildyn.2019.105878>

- Celauro, B., Bevilacqua, A., Bosco, D. L. and Celauro, C. 2012. "Design procedures for soil-lime stabilization for road and railway embankments. Part 1- Review of design methods". *Soc. Behav. Sci.*, 53: 755-764. doi: 10.1016/j.sbspro.2012.09.925
- Esmaeili, M., Aela, P. and Hosseini, A. 2017. "Experimental assessment of cyclic behavior of sand-fouled ballast mixed with tire derived aggregates". *Soil Dyn. Earthq. Eng.*, doi:<http://dx.doi.org/10.1016/j.soildyn.2017.03.033>
- Gerling, T. 2016 . RRP GmbH.
- Indraratna, B., Ngo, T. N. and Ferreira, F. B. 2019. "Advancements in track technology: use of artificial inclusions for stabilising transport infrastructure". 13th Australia Newzealand Conference on Geomechanics, Costa-Martinez and Lehane (Eds.), Australian Geomechanics Society, Sydney, Australia.
- Indraratna, B., Korkitsuntornsan, W. and Nguyen, T. T. 2020a. "Influence of kaolin content on the cyclic loading response of railway subgrade". *Transport. Geotech.*, 22: 100319. doi:<https://doi.org/10.1016/j.trgeo.2020.100319>
- Indraratna, B., Qi, Y., Tawk, M., Heitor, A., Rujikiatkamjorn, C. and Navaratnarajah, S. K. 2020b. "Advances in ground improvement using waste materials for transportation infrastructure". *Proc. Inst. Civ. Eng.- Ground Improvement*. doi:<https://doi.org/10.1680/jgrim.20.00007>
- Lazorenko, G., Kasprzhitskii, A., Khakiev, Z. and Yavna, V. 2019. "Dynamic behavior and stability of soil foundation in heavy haul railway tracks: A review". *Constr. Build. Mater.*, 205: 111-136. doi:DOI: 10.1016/j.conbuildmat.2019.01.184
- Li, Y., Ling, X., Su, L., An, L., Li, P. and Zhao, Y. 2018. "Tensile strength of fiber reinforced soil under freeze-thaw condition". *Cold Reg. Sci. Technol.*, 146: 53-59. doi:<https://doi.org/10.1016/j.coldregions.2017.11.010>
- López, V. O., Manso, J. M., Cuesta, I. I. and González, J. J. 2014. "The long-term accelerated expansion of various ladle-furnace basic slags and their soil-stabilization applications". *Constr. Build. Mater.*, 68: 455-464. doi:<http://dx.doi.org/10.1016/j.conbuildmat.2014.07.023>
- Malkanthi, S. N., Balthazaar, N. and Perera, A. A. D. A. J. 2020. "Lime stabilization for compressed stabilized earth blocks with reduced clay and silt". *Case Stud. Constr. Mater.*, 12: e00326. doi:<https://doi.org/10.1016/j.cscm.2019.e00326>
- Mirzababaei, M., Arulrajah, A. and Ouston, M. 2017. "Polymers for stabilization of soft clay soils". *Proced. Eng.*, 189, 25-32. doi:doi: 10.1016/j.proeng.2017.05.005
- Mohammadinia, A., Arulrajah, A., Phummiphan, I., Horpibulsuk, S. and Mirzababaei, M. 2019. "Flexural fatigue strength of demolition aggregates stabilized with alkali-activated calcium carbide residue". *Constr. Build. Mater.*, 199: 115-123. doi:<https://doi.org/10.1016/j.conbuildmat.2018.12.031>
- Oluwatuyia, O. E., Ojurib, O. O. and Khoshghalb, A. 2019. "Cement-lime stabilization of crude oil contaminated kaolin clay". *J. Rock Mech. Geotech. Eng.* doi:<https://doi.org/10.1016/j.jrmge.2019.07.010>
- Phanikumar, B. R. and Raju, E. R. 2020. "Compaction and strength characteristics of an expansive clay stabilised with lime sludge and cement". *Soils Found.* doi:<https://doi.org/10.1016/j.sandf.2020.01.007>
- Praticò, F. G. and Puppala, A. J. 2012. "Lime and cement treatments of subgrades in southern Italy: Facing interports issues and challenges". *Proced. Soc. Behav. Sci.*, 53: 389-398. doi:doi: 10.1016/j.sbspro.2012.09.890
- Sol-Sánchez, L. M., Pirozzolo, L., Moreno-Navarro, F. and Rubio-Gámez, M. C. 2015. "Advanced characterisation of bituminous sub-ballast for its application in railway tracks: The influence of temperature". *Constr. Build. Mater.*, 101: 338-346. doi:<http://dx.doi.org/10.1016/j.conbuildmat.2015.10.102>
- Ta'negebadi, B. and Noorzad, R. 2018. "Physical and geotechnical long-term properties of lignosulfonate-stabilized clay: An experimental investigation". *Transport. Geotech.* doi:<https://doi.org/10.1016/j.trgeo.2018.09.001>
- Trinh, V. N., Tang, A. M., Cui, Y. J., Dupla, J. C., Canou, J., Calon, N., . . . and Schoen, O. 2012. "Mechanical characterisation of the fouled ballast in ancient railway track substructure by large-scale triaxial tests". *Soils Found.*, 52(3): 511-523. doi:<http://dx.doi.org/10.1016/j.sandf.2012.05.009>
- Wang, T. L., Song, H. F., Yue, Z. R., Hu, T. F. and Sun, T. C. 2019. "Freeze-thaw durability of cement-stabilized macadam subgrade and its compaction quality index". *Cold Reg. Sci. Technol.*, 160: 13-20. doi:<https://doi.org/10.1016/j.coldregions.2019.01.005>
- Yadu, L. and Tripathi, R. K. 2013. "Effect of granulated blast furnace slag in the eng. behavier of stabilized soft soil". *Proced. Eng.*, 51: 125-131. doi:doi: 10.1016/j.proeng.2013.01.019

- Zhao, G., She, W., Yang, G., Pan, L., Cai, D., Jiang, J. and Hu, H. 2017. "Mechanism of cement on the performance of cement stabilized aggregate for high speed railway roadbed". *Constr. Build. Mater.*, 144: 347-356. doi:<http://dx.doi.org/10.1016/j.conbuildmat.2017.03.194>
- Zhang, C. and Jiang, G. 2020 . "Full-scale model testing of the dynamic response of lime-stabilized weathered red mudstone subgrade under railway excitation". *Soil Dyn. Earthq. Eng.*, 130: 105999. doi:<https://doi.org/10.1016/j.soildyn.2019.105999>